

## بهینه‌سازی تعداد پیزومترها در پیش‌بینی سطح آب‌های زیرزمینی با روش‌های PCA و زمین‌آماری

نوید هوشتگی<sup>۱</sup>، علی‌اصغر آل‌شیخ<sup>۲</sup>، عطاءالله ندیری<sup>۳\*</sup>

تاریخ دریافت: ۹۲/۱۲/۲۵ تاریخ پذیرش: ۹۴/۰۲/۲۱

۱-دانشجوی دکتری گروه مهندسی GIS، دانشکده ژئودزی-ژئوماتیک، دانشگاه صنعتی خواجه‌نصیرالدین طوسی

۲-استاد گروه مهندسی GIS، دانشکده ژئودزی-ژئوماتیک، دانشگاه صنعتی خواجه‌نصیرالدین طوسی

۳-استادیار گروه علوم زمین، دانشکده علوم طبیعی، دانشگاه تبریز

\* مسئول مکاتبات، پست الکترونیکی: nadiri.ata@gmail.com

### چکیده

بهینه‌سازی تعداد چاه‌ها در تخمین سطح آب‌های زیرزمینی به لحاظ کاهش هزینه نگه‌داری و صرفه‌جویی در هزینه برداشت اطلاعات، گامی مهم است. هدف اصلی این تحقیق، تعیین تعداد بهینه چاه‌های پیزومتری جهت تخمین سطح آب‌های زیرزمینی در آبخوان دشت تبریز بود که در سه مرحله اصلی انجام گرفت. ابتدا با اخذ مشاهدات ۷۵ چاه مربوط به سفره آزاد دشت تبریز و ارزیابی عملکرد پنج روش مختلف درون‌یابی، نتیجه حاصل از روش کریجینگ عمومی با جذر میانگین مربعات خطأ (RMSE) ۱/۱۲ متر به عنوان مناسب‌ترین سطح برآش داده، انتخاب شد. در مرحله دوم با دو روش خطای اعتبارسنجی متقابل نقاط و تحلیل مؤلفه‌های اصلی (PCA) تعدادی از نقاط از چرخه تشکیل سطح، خارج و در نهایت با توجه به RMSE سطوح ایجاد شده، عملکرد دو روش با هم مقایسه گردید. بررسی‌های به عمل آمده نشان داد که برای تخمین سطح آب زیرزمینی در آبخوان آزاد دشت تبریز از روش PCA، و با فرض این‌که خطای حد آستانه از مقدار ۱۱ درصد بیشتر نگردد، ۳۰ چاه حذف می‌شود و RMSE سطح حاصل ۱۴٪ افزایش می‌یابد. این در حالی است که استفاده از خطای اعتبارسنجی متقابل در شرایط مساوی سبب افزایش RMSE سطح ایجاد شده به میزان ۱۶/۵٪ شد. لذا تغییرات RMSE سطح حاصل از PCA در قیاس با روش خطای نقطه‌ای کمتر بوده و از اعتبار بیشتری برخوردار است. بنابراین با حذف ۳۰ چاه پیزومتر، می‌توان با افزایش دقت اندازه‌گیری سطح آب در بقیه چاه‌های پیزومتری باقیمانده و صرفه‌جویی در زمان و هزینه، سطح آب زیرزمینی را با دقت خوبی تخمین زد.

واژه‌های کلیدی: آب‌های زیرزمینی، پیزومترها، تحلیل مؤلفه‌های اصلی، درون‌یابی، دشت تبریز

## Optimization of Piezometers Number for Groundwater Level Prediction Using PCA and Geostatistical Methods

**N Hooshangi<sup>1</sup>, AA Alesheikh<sup>2</sup>, AA Nadiri<sup>3\*</sup>**

Received: 16 March 2014

Accepted: 11 May 2015

<sup>1</sup>- Ph.D. Student, Dept. of Geodesy & Geomatics Eng., KN Toosi Univ. Iran

<sup>2</sup>- Prof., Dept. of Geodesy & Geomatics Eng., KN Toosi Univ. Iran

<sup>3</sup>- Assist. Prof., Dept. of Earth Sciences, University of Tabriz. Iran

\* Corresponding Author Email : [nadiri.ata@gmail.com](mailto:nadiri.ata@gmail.com)

### Abstract

Network Optimization of existing Piezometers number for estimating groundwater levels, since it reduces maintenance cost and saves the charge of data acquisition, is an important step. The main goal of this research is to optimize the number of piezometers to estimate groundwater levels in the unconfined aquifer of Tabriz plain. That was accomplished at three main stages. At the beginning, ground water levels in 75 piezometers of the unconfined aquifer of Tabriz plain were obtained and the performances of five different interpolation methods were evaluated. At this stage, results of the Universal Kriging method with Root Mean Square Error (RMSE) of 1.12 m was selected as an appropriate surface. At the second stage, two methods; including Cross-Validation Error and Principal Component Analysis (PCA) were applied to remove some points. Finally, with respect to RMSE of the created surfaces, the two applied methods were compared. The results showed that by assuming reasonable error threshold (11%) in PCA method, 30 points were removed and the RMSE of the estimated surface increased by 14 percent. In the cross validation method by removing 30 other points, the RMSE of the created surface increased by 16.5 percent. Therefore, RMSE changes using PCA compared to cross-validation error method were less, and therefore PCA result was more valid. The results indicated that, by eliminating 30 piezometers from the groundwater level monitoring network of the unconfined aquifer of Tabriz plain, the suitable accuracy for groundwater level estimating could be achieved by increasing the accuracy of water level measurement in the rest of the piezometers that would cause the saving of time and cost.

**Keywords:** Groundwater, Interpolation, Piezometers, Principal Component Analysis, Tabriz aquifer

نیازمند شبکه سنجشی است که قادر به جمع آوری متغیرهای چرخه هیدرولوژیکی باشد (آلفونسو و همکاران ۲۰۱۰). ارزیابی این شبکه و تعیین ایستگاههای پایش اصلی و فرعی در آن، گامی مهم در بهبود کارایی و به هنگامسازی شبکه پایش هست (نوری و همکاران ۱۳۸۶). مکان و تعداد ایستگاههای پایش نقش اساسی در تخمین سطح آب‌های زیرزمینی و نمایش کیفیت آن دارد (سیواپراگاسم و همکاران ۲۰۱۰). عوامل زمانی و مکانی دیگری مانند خصوصیات هیدرودینامیکی آبخوان، میزان

### مقدمه

آب‌های زیرزمینی یکی از مهم‌ترین منابع تأمین نیازهای خانگی، صنعتی و کشاورزی به‌ویژه در مناطق خشک و نیمه‌خشک هستند (تقی زاده مهرجردی و همکاران ۱۳۸۷، قدم پور و شفاقیان ۱۳۹۰). هدف از طراحی شبکه چاههای پیزومتری، پایش کیفیت و سطح آب زیرزمینی جهت مدیریت بهره‌برداری از آبخوان هست که در پیش‌بینی نشست زمین نیز مؤثر است (نوری قیداری ۱۳۹۲). مدیریت صحیح هر سیستم آبی،

تعداد نمونه‌برداری‌ها و تواتر برداشت داده‌ها و بهره‌گیری از نظریه آنتروپی نیز به صورت آنلاین ایجاد گردیده است (کارآموز و همکاران ۲۰۰۹). بهینه‌سازی شبکه پایش کیفیت آبی با الگوریتم ژنتیک نیز به فور انجام شده است (کیدول و خو ۲۰۰۵، پارک و همکاران ۲۰۰۶). کریمی گوغری و خلیفه (۱۳۹۲) با استفاده از نظریه آنتروپی و در نظر گرفتن شاخص‌های آنتروپی نظیر آنتروپی مرزی، آنتروپی مشترک، شاخص اطلاعات ارسال شده، شاخص اطلاعات دریافت شده و شاخص انتقال اطلاعات بین ایستگاه به ارزیابی کارایی شبکه‌های آب‌سنگی پرداخته و به این نتیجه رسید که تئوری آنتروپی قابلیت قابل قبولی جهت کمی کردن ارزش منطقه‌ای ایستگاه‌های آب‌سنگی دارد. زهو و همکاران (۲۰۱۲) روش جدیدی بر مبنای تصویر کردن منطقه در رژیم آب‌های زیرزمینی متفاوت پیشنهاد داد و بیان کرد که توجه به بهینه‌سازی، یکی از مهم‌ترین عوامل در انتخاب روش بهینه‌سازی هست. ستینکایا و هارمان سیو اقلو (۲۰۱۴) رویکرد نقطه مبنا<sup>۳</sup> (RPA) را به منظور کاهش تعداد چاهه‌ای آب و ارزیابی عملکرد شبکه در کشور ترکیه پیشنهاد کرد که با توجه به اهداف چندگانه موجود در طراحی شبکه به رتبه‌بندی ایستگاه‌ها پرداخت. یکی دیگر از روش‌های بهینه‌سازی شبکه پایش سطح آب زیرزمینی روش آنالیز مؤلفه‌های اصلی<sup>۴</sup> (PCA) هست. PCA یکی از تکنیک‌های کاهش داده بوده و بر اساس شناسایی مؤلفه‌های توصیف‌کننده واریانس سامانه بوده و در تعیین چاهه‌ای مؤثر در داشت قیدار استفاده شده است (نوری قیداری ۱۳۹۲). در رودخانه کارون نیز با استفاده از روش‌های تحلیل مؤلفه‌های اصلی و تحلیل فاکتورهای اصلی<sup>۵</sup> (FA)، ارزیابی ایستگاه‌های کنترل پارامترهای کیفی آب رودخانه صورت گرفته است (نوری و همکاران ۱۳۸۶). قهرمان و همکاران (۱۳۸۲) با استفاده از زمین‌آمار به ارزیابی شبکه پایش آب‌های زیرزمینی در مشهد پرداخت که با وجود خطای بالا در برآورد پارامترهای کیفی، پیشنهاد طراحی یک شبکه مؤثرتر که توزیع مکانی و

بارش، وضعیت توپوگرافی، موقعیت مکانی عوامل تغذیه و تخلیه در تغییرات سطح آب زیرزمینی مؤثّرد که موجب پیچیده و غیرخطی شدن سیستم آب‌های زیرزمینی می‌شوند (لشکری‌پور و همکاران ۱۳۸۵، قدم پور و شقاقیان ۱۳۹۰). لذا پیش‌بینی دقیق سطح آب‌های زیرزمینی نیازمند افزایش تعداد چاهه‌ای پیزومتری است. تعیین نقاط مهم در اندازه‌گیری به لحاظ کاهش تعداد، صرفه‌جویی در هزینه، زمان و افزایش دقت نمونه‌برداری بسیار مهم است (نوری قیداری ۱۳۹۲). در این صورت پیش‌بینی دقیق سطح آب‌های زیرزمینی زمانی که تعداد، تواتر اندازه‌گیری و بحث صرفه اقتصادی مدنظر قرار بگیرد دشوارتر می‌شود (کارآموز و همکاران ۲۰۰۵). از طرفی، سطح آب‌های زیرزمینی داشت تبریز از جمله عوامل تأثیرگذار در مسیریابی خط متروی شهر تبریز و نحوه عملیات اجرایی این پروژه هست. بعد از مسیریابی خطوط مترو و اتمام عملیات این پروژه و با توجه به هزینه نگه‌داری، نیازی به حفظ همه این چاهها نخواهد بود. در راستای مسیریابی دیگر خطوط مترو نیاز به انتخاب برخی از این چاهها به عنوان مؤثرترین چاهها است، تا با بهینه کردن تعداد چاهها و هزینه، شبکه موجود برای آینده نیز قابل استفاده شود.

از جمله روش‌های پایش سطح آب زیرزمینی می‌توان به روش‌های شبیه‌سازی، تحلیل واریانس، روش احتمالاتی، روش‌های پیشرفتۀ زمین‌آماری<sup>۱</sup>، شبکه عصبی و الگوریتم ژنتیک اشاره کرد (نوری قیداری ۱۳۹۲). همواره انتخاب شبکه مناسب با این دید که تمام تغییرات را یافته و داده‌های اضافی حذف شوند انجام می‌گیرد. بدین منظور در برخی از پژوهش‌ها جهت محاسبه داده‌های اضافی از راهکارهایی مانند روش کریجینگ در محیط چند متغیره کاهشی استفاده کرده‌اند (بیوریدج و همکاران ۲۰۱۲). روش‌های زمین‌آماری دیگری با ترکیب کریجینگ و تحلیل سلسه مراتبی<sup>۲</sup> (AHP) جهت طراحی سیستم پایش کیفی برای رودخانه کارون و دز نیز استفاده شده است (کارآموز و همکاران ۱۳۸۶). برای رود کارون شبکه پایش با کمینه کردن

<sup>3</sup> Reference Point Approach

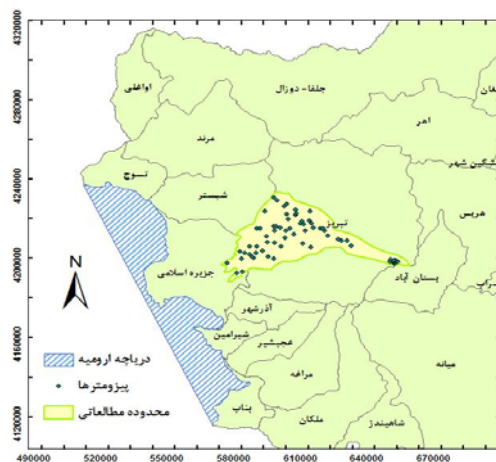
<sup>4</sup> Principal Component Analysis

<sup>5</sup> Factor Analysis

<sup>1</sup> Geostatistics

<sup>2</sup> Analytic Hierarchy Process

شده در تراس‌های رودخانه آجی چای چندلایه‌ای بوده و از نوع آزاد و تحت‌فشار می‌باشد. با آن‌که تراس‌های رودخانه آجی چای آبخوان‌های چندلایه‌ای را تشکیل می‌دهند، ولی جدایی اصلی آبخوان آزاد از تحت‌فشار در عمق ۵۰ تا ۶۰ متری از سطح زمین صورت می‌گیرد (نديري ۱۳۸۳). در اين بررسى از اطلاعات ۷۵ چاه پيزيومتری موجود (شکل ۱) در سفره آزاد دشت تبريز در سال ۱۳۸۷ استفاده شده است (چاه‌های منتخب بيشتر در مسیر متروی تبريز قرار دارند).



شکل ۱- موقعیت جغرافیایی منطقه مورد مطالعه.

### مراحل اجرایی

در راستاي بهينه‌سازی شبکه پاييش سطح آب- زيرزميني دشت تبريز، ابتدا سطح آب زيرزميني با استفاده از روش‌های درون‌يابی برای سال به دست آمد و خطای هر نقطه محاسبه شد. سپس با استفاده از روش خطای نقطه‌ای حاصل از اعتبارسنجی مقابل، چاه با کمترین خطأ حذف گردید. تعداد چاه‌های حذف شده با توجه به میزان تغييرات <sup>7</sup>RMSE سطح مشخص شد. در ادامه چاه‌های مهم با استفاده از روش PCA و محاسبه نمودار خطای حاصل از ضرير تغييرات <sup>8</sup>(CV) تعين شده و خروجي اين دو روش با هم مقاييسه و سطح با تعداد نقاط بهينه به دست آمد. در ادامه هر كدام از اين مراحل شرح داده می‌شود.

زمانی مناسب‌تری داشته باشد، ارائه داد. ياكيرويچ و همکاران (۲۰۱۲) با استفاده از نظریه اطلاعات به پیشنهاد روشی برای افزایش نظارت بر شبکه‌های زيرزميني<sup>۶</sup> (SMN) پرداخت و بهينه‌سازی مدل طراحی شده را مهم‌ترین عامل در حداکثر سازی اخذ اطلاعات و کاهش عدم قطعیت در مدل‌سازی جريان زيرسطحی دانست. در اين تحقيق هدف اصلی، بهينه‌سازی تعداد چاه‌های پيزيومتری آبخوان آزاد دشت تبريز، جهت پيش‌بیني سطح آب‌های زيرزميني بهويژه در مسیر خطوط متروی شهر تبريز هست. بدین منظور روش ساده بر اساس ميزان خطای ايجادشده در اعتبارسنجي مقابل پیشنهاد می‌شود، که بعد از برآزش سطح بهينه بر آب‌های زيرزميني اجرا می‌گردد. در ادامه نيز روش دیگری با استفاده از تحليل مؤلفه‌های اصلی اجرا و عملکرد اين دو روش با مقاييسه خطای سطوح ايجادشده از حذف نقاط، بررسی می‌شود تا ضمن ارزیابی قابلیت‌های اين دو روش، شبکه بهينه برای اين دشت معرفی گردد.

### مواد و روش‌ها منطقه مورد مطالعه

دشت تبريز حدود ۵۳۷۸ کيلومتر مربع وسعت دارد و بعد از دشت‌های ميانه و جلفا بزرگ‌ترین دشت موجود در استان آذربایجان شرقی هست. اين دشت از شمال به دامنه‌های جنوبی کوه‌های میشو، از شرق به محدوده شهر تبريز، از جنوب به دامنه‌های شمالی سهند، از غرب به اراضی شوره‌زار و درياچه اروميه محدود می‌شود. آب موردنیاز اراضی کشاورزی دشت تبريز علاوه بر منابع آب‌های سطحی همانند آجی چای، کومرچای و سنیخ چای از منابع آب‌های زيرزميني هم تأمین می‌گردد (رزاقي منش و همکاران ۱۳۸۵). دشت تبريز را می‌توان يك آبخوان دو لایه در نظر گرفت که از آبخوان آزاد و تحت‌فشار تشکيل شده است. پيش‌ترين ضخامت سفره آزاد در دشت تبريز ۱۰۰ متر است که اين ضخامت به طرف کوه و نيز به طرف مرکز دشت کاهش یافته و تا ۵۰ متر می‌رسد. آبخوان‌های تشکيل

<sup>7</sup> Root Mean Square Error

<sup>8</sup> Coefficient of Variation

<sup>6</sup> Subsurface Monitoring Network

مقایسه را اعتبارسنجی<sup>۱۵</sup> و اگر نقاط یک به یک حذف شوند اعتبارسنجی متقابل<sup>۱۶</sup> گویند. زمانی که تعداد نقاط کم باشد از اعتبارسنجی متقابل استفاده می‌شود. از جمله فرمول‌های رایج در اعتبارسنجی متقابل، ریشه خطای میانگین مربعات (RMSE) هست که توسط رابطه ۱ بیان می‌شود (گوندوغدو و گونی ۲۰۰۷، سان و همکاران ۲۰۰۹، کارتولوس و فیلیپو ۲۰۱۲، ندیری و همکاران ۲۰۱۳c، ۲۰۱۳b). در رابطه ۱،  $(x_i)$  مقدار مشاهداتی و  $(\hat{x}_i)$  مقدار برآورد شده است.

$$RMSE = \sqrt{\frac{1}{N} \sum (Z(x_i) - \hat{Z}(x_i))^2} \quad [1]$$

#### روش پیشنهادی خطای اعتبارسنجی نقاط

در استفاده از روش‌های کلاسیک (مانند وزن دهی معکوس فاصله) و زمین‌آمار (کریجینگ) برای درون‌یابی پدیده‌های مختلف، پارامترهای متفاوتی مانند تراکم نقاط، مقیاس، دقت مورد نیاز و همگنی منطقه مؤثر هست. در مناطق همگن برداشت نقاط با تراکم اندک انجام می‌گیرد، زیرا مقدار پارامتر مورد نظر تغییرات مکانی کمی داشته و می‌توان از مقدار پارامتر همسایه‌ها در فاصله دورتر نیز استفاده کرد. لذا خطای به دست آمده برای هر نقطه می‌تواند نشانه‌ای از برداشت صحیح نقاط با تعداد و تراکم مناسب باشد. در درون‌یابی عوارض سطحی، شخص اپراتور، نوع منطقه، خطوط شکستگی<sup>۱۷</sup>، تپه‌ها و غیره را مشاهده می‌کند و می‌تواند تراکم نقاط برداشت شده را به منظور افزایش دقت تغییر دهد. اما در برداشت اکثر پدیده‌های زیرسطحی مانند آب‌های زیرزمینی و آلودگی خاک این امکان وجود ندارد. اما همچنان خطای به دست آمده برای هر نقطه می‌تواند بیانگر برداشت صحیح نقاط با تعداد و تراکم مناسب باشد. یعنی بعد از برداشت اطلاعات چاهه‌ای پیزومتری و تشکیل سطح مربوطه، در صورتی که خطای نقطه‌ای به دست آمده هنگام اعتبارسنجی متقابل برای نقطه‌ای کمینه باشد یعنی تغییرات سطح آب اندک بوده و مقدار این نقطه

#### ارزیابی روش‌های درون‌یابی در تخمین سطح آب‌های زیرزمینی

با توجه به نقطه‌ای بودن برداشت اطلاعات در مطالعات جغرافیایی می‌توان به کمک درون‌یابی، داده‌ها را به سطح تعمیم داد (فرجی سبکبار و عزیزی ۱۳۸۵). هدف از درون‌یابی تخمین مقادیر نامعلوم با استفاده از مقادیر معلوم هست (قهرودی تالی و بابایی فینی ۱۳۸۹). درون-یابی در سه مرحله اصلی انجام می‌گیرد. ابتدا جستجو و آماده‌سازی داده‌ها که شامل یافتن خطا با تحلیل‌های ساده آماری، تحلیل روند<sup>۹</sup> داده‌های موجود و بررسی نحوه توزیع داده‌ها هست (صلاح ۲۰۰۹). سپس پیاده‌سازی مدل‌های قطعی و یا زمین‌آماری موجود جهت ایجاد سطح و در نهایت آنالیز سطوح و تفسیر نتایج. روش‌های درون‌یابی متنوعی در برآورد سطح آب‌های زیرزمینی و میزان آلودگی آن‌ها مورداستفاده قرار گرفته است. بررسی منابع نشان می‌دهد که روش‌های بهینه به دست آمده متفاوت بوده و با تغییر مکان تغییر کرده‌اند. از این‌رو روش منتخب در یک منطقه را نمی‌توان به سایر مناطق تعمیم داد (تقی‌زاده مهرجردی و همکاران ۱۳۸۷) از جمله روش‌های پرکاربرد روش‌های وزن دهی معکوس<sup>۱۰</sup> (IDW)، تابع پایه شعاعی<sup>۱۱</sup> (RBF)، کریجینگ ساده<sup>۱۲</sup> (SK)، کریجینگ عادی<sup>۱۳</sup> (OK) و کریجینگ عمومی<sup>۱۴</sup> (UK) می‌باشدند (تقی‌زاده مهرجردی و همکاران ۱۳۸۷، سکوتی اسکویی و همکاران ۱۳۹۰، سلطانی و همکاران ۱۳۸۹، صلاح ۲۰۰۹، سان و همکاران ۱۳۸۹).

جهت مقایسه روش‌های درون‌یابی می‌توان از اعتبارسنجی و اعتبارسنجی متقابل استفاده کرد. اساس این روش‌ها این است که تعدادی از نقاط از فرآیند درون‌یابی (به صورت تصادفی یا انتخابی) حذف و درون‌یابی با بقیه نقاط انجام می‌گیرد و در نهایت مقادیر محاسبه شده و پیش‌بینی شده با هم مقایسه می‌شوند. در صورتی که نقاط به صورت دسته‌ای حذف شوند روش

<sup>9</sup> Trend

<sup>10</sup> Inverse distance weighting

<sup>11</sup> Radial Basis Function

<sup>12</sup> Simple Kriging

<sup>13</sup> Ordinary Kriging

<sup>14</sup> Universal Kriging

<sup>15</sup> Validation

<sup>16</sup> Cross Validation

<sup>17</sup> Break Line

تغییرات داده را توصیف می‌کند (نديري و همكاران ۲۰۱۳a). PCA عموماً برای کاهش ابعاد داده و آشكاري‌سازی الگوهای ساده‌تر در درون مجموعه‌ای از متغيرها مورداستفاده قرار می‌گيرد (قورجي روکي و همكاران ۱۳۹۲).

در تحلیل مؤلفه‌های اصلی چاهی که داده‌های آن دارای همبستگی معنی‌داری با مؤلفه‌های اصلی باشد، به عنوان چاه مؤثر و مهم قلمداد می‌شود. اجرای این روش در ۶ مرحله انجام می‌گيرد (نوري و همكاران ۱۳۸۶، نوري قيداري ۱۳۹۲):

۱. انتخاب همسایگی مناسب برای هر چاه: تعداد چاه‌هایی که وارد مراحل PCA هر چاه می‌شود، به سری اطلاعات اندازه‌گیری شده از آن چاه وابسته است. در این تحقیق از داده‌های ۱۲ ماه چاه‌های پیزومتری دشت تبریز استفاده شدند، لذا ۱۲ همسایه‌ی مجاور هر چاه به عنوان ورودی در PCA انتخاب شدند.

۲. اعمال تجزیه به مؤلفه‌های اصلی: خروجی این مرحله، رابطه‌ی بین هر چاه و مؤلفه‌های اصلی هست. هر چه مقدار رابطه بین چاه و مؤلفه‌های اصلی (سهم متغيرها در مؤلفه‌ها) بالاتر باشد، همبستگی بین چاه و مؤلفه‌ی اصلی و در نتیجه اهمیت چاه بیشتر است.

۳. تعیین اهمیت چاه‌های موجود: در این مرحله با توجه به ماتریس  $n \times n$  بدست آمده برای مؤلفه‌ها، چاه‌های با اهمیت مشخص می‌گردد. در هر ماتریس، چاهی که همبستگی بالایی (بیش از ۰/۹۰) با مؤلفه‌های اصلی داشته باشد به عنوان چاه مؤثر شناخته می‌شود (نوري قيداري ۱۳۹۲).

۴. در این مرحله نتایج مرحله قبل جمع‌بندی می‌شوند و اهمیت نسبی هر چاه با استفاده از فراوانی مؤثر هر چاه به دست می‌آید. جهت محاسبه اهمیت نسبی و فراوانی مؤثر هر چاه از رابطه ۲ استفاده می‌شود:

توسط همسایه‌های مجاور قابل تخمین است. اساس روش پیشنهادی این تحقیق، استفاده از خطای نقاط در اعتبارسنجی متقابل و کمینه بودن مقدار خطای روش‌های درون‌یابی هست. اگر بعد از حذف یک داده، نقشه‌ای با خطای بیشتر تولید شود، موقعیت نقطه در شبکه مهم بوده است.

مراحل کاری در روش حذفی نقاط با اعتبارسنجی متقابل بدین طریق است که در مرحله اول بهترین روش درون‌یابی برای سطح مشخص می‌شود و نقطه‌ای که کمترین خطای را در هین اعتبارسنجی متقابل و تشکیل سطح داشته انتخاب و از مجموعه داده‌ها کنار گذاشته می‌شود. در مرحله دوم سطح با  $1 - n$  نقطه تشکیل شده و RMSE سطح دوم با RMSE سطح مرحله اول مقایسه می‌شود. در صورتی که درصد تغییر RMSE سطوح در مرحله اول و دوم از مقدار معقول (مثلثاً افزایش ۱۱٪ خطای سطح) کمتر باشد مجدداً نقطه دیگری که کمترین خطای را در اعتبارسنجی نقاط هنگام تشکیل سطح دوم داشته باشد از مجموعه داده‌ها کنار گذاشته می‌شود و سطح با  $2 - n$  نقطه تشکیل و مراحل قیدشده تا زمانی که درصد تغییر از مقدار مدنظر کمتر باشد ادامه می‌یابد. مقدار قابل قبول برای خطای سطح در پدیده‌های مختلف، متفاوت هست و می‌تواند بر اساس دقیقت سطح اولیه ایجادشده و اعمال نظرات کارشناسی انتخاب گردد. لازم به ذکر است که در هر مرحله صرفاً یک نقطه حذف می‌شود، زیرا مقدار خطای در اعتبارسنجی متقابل با فرض حضور دیگر نقاط است.

#### روش تحلیل مؤلفه‌های اصلی (PCA)

تحلیل مؤلفه‌های اصلی جزء آمار چند متغیره بوده و روشی ساده و غیر پارامتری جهت استخراج اطلاعات مربوطه از میان حجم عظیمی از داده هست (همت پور و هاشمي ۱۳۹۰). در روش PCA تعداد کمتری از عوامل به نام مؤلفه‌های اصلی از میان عوامل اولیه گزینش می‌شوند (شيخ‌الاسلامی و همكاران ۱۳۹۱). اولین مؤلفه اصلی دارای بیشترین اهمیت بوده و عامل اصلی

= اهمیت نسبی هر چاد

**مجموع دفعاتی که هر چاد در محاسبات چاههای دیگر به عنوان موثر شناخته شده**

**مجموع دفعاتی که هر چاد در همسایکی چاههای دیگر ظاهر شده**

[۲]

تجزیه و تحلیل داده‌ها را تحت تأثیر قرار می‌دهد (نوری قیداری ۱۳۸۹). لذا، ابتدا جهت کنترل خطای داده‌های چاههای پیزومتری، از سیر نزولی یا صعودی بودن اعداد در طول ماههای مقاومت استفاده گردید. سیر افزایشی یا کاهشی مقدار آب‌های زیرزمینی، بیشتر ناشی از عواملی چون نزولات بارشی و برداشت برای مصارف خانگی و کشاورزی هست، لذا تغییرات ماهیانه دارای روند مشخصی بوده و میزان تغییرات آن در یک گستره محدود هست. بررسی روند کلی آب زیرزمینی آبخوان نشان می‌دهد که مقدار ارتفاع آب زیرزمینی در ماههای مهر تا اردیبهشت افزایشی و از اردیبهشت تا شهریور کاهشی هست، از این‌رو ابتدا داده‌ها با توجه به اختلاف بین هر دو ماه متوالی و روند کلی سطح آب چاد خطایابی شدند. در نقاطی که به عنوان خط شناخته شدند، میانگین همان نقطه در دو ماه متوالی مدنظر قرار گرفت. خلاصه آماری داده‌های تصحیح شده در جدول ۱ ارائه شده است.

بعد از کنترل خطای داده‌های چاههای پیزومتری، آزمون نرمال بودن داده‌ها انجام شد. با توجه به این‌که داده‌ها نرمال نبودند، در روش‌های کریجینگ تبدیلهای لوگ<sup>۱۸</sup> و باکس-کاکس<sup>۱۹</sup> بر روی داده‌ها اعمال شد تا پیش‌فرض روش‌های کریجینگ که نرمال بودن داده‌هاست، برقرار شود (صلاح ۲۰۰۹)، در این تحقیق برای بررسی نرمال بودن داده‌ها از آزمون کلموگروف-اسمیرنوف در سطح اطمینان ۹۵ درصد استفاده شد. با توجه به این‌که یک روش درون‌یابی بهینه برای پیده‌های هیدرولوژیکی موجود نیست (سان و همکاران ۲۰۰۹)، روش‌های RBF، IDW و Kriging بر روی مقدار متوسط سطح آب‌های زیرزمینی اعمال شد. نتایج بهینه حاصل در جدول ۲ ارائه شده است. ستون سوم، چهارم و پنجم جدول ۲ مربوط به پارامترهای بهینه شده در هر روش درون‌یابی هست.

۵. بعد از محاسبه اهمیت نسبی هر چاد باید میزان تغییرات سطح آب به‌ازای حذف هر چاد محاسبه شود. حذف چاهها کم‌اهمیت تا جایی ادامه پیدا می‌کند که متوسط ضریب تغییرات سطح آبخوان زیاد نباشد. برای این منظور باید به ترتیب چاههایی که دارای اهمیت نسبی کمتر از  $0.0/0.0/0.0$  و غیره هستند، حذف شوند و خطای ایجادشده در سطح به‌دست آید (نوری قیداری ۱۳۹۲). در این روش حد آستانه برای تعداد نقاط کنترل شده بر اساس میزان تغییر ضریب تغییرات و نظرات کارشناسی هست. برای محاسبه خطای استفاده از رابطه  $3$  ضریب تغییرات برای هر ماه محاسبه و میانگین آن‌ها با رابطه  $4$  به‌دست می‌آید و در نهایت خطای ایجادشده در تخمین سطح از رابطه  $5$  محاسبه می‌شود (نوری قیداری ۱۳۹۲).

$$CV_i = \frac{\sigma}{\mu} \quad i = 1, 2, \dots, 12 \quad [3]$$

$$CV_m = \frac{\sum CV_i}{12} \quad i = 1, 2, \dots, 12 \quad [4]$$

$$Error = \frac{CV_m - CV_{mt}}{CV_{mt}} \times 100 \quad [5]$$

در رابطه‌های فوق  $\sigma$  انحراف معیار،  $\mu$  میانگین،  $CV$  ضریب تغییرات،  $CV_{mt}$  متوسط ضریب تغییرات کلی چاههای پیزومتری موجود،  $CV_m$  متوسط ضریب تغییرات به‌ازای حذف چاهها با توجه به اهمیت نسبی محاسبه شده هست. در این تحقیق برای پیاده‌سازی این روش از نرم‌افزارهای آماری MATLAB و نرم‌افزار مهندسی SPSS و XLSTAT استفاده شد.

## نتایج و بحث

با توجه به این‌که هر ساله در برخی از چاههای پیزومتری به علل متفاوت مانند پر شدن چاهها، امکان اندازه‌گیری وجود ندارد، ابتدا باید پیزومترهایی که در فرآیند سالانه یا ماهانه مرتبًا اندازه‌گیری شده‌اند شناسایی و خطاهای آن‌ها برطرف شوند. داده‌های اشتباه نتایج به‌دست‌آمده را دور از واقعیت کرده و

<sup>18</sup> Log

<sup>19</sup> Box-Cox

جدول ۱- خلاصه آماری داده‌های رقوم سطح آب زیرزمینی استفاده شده در دوازده ماه سال ۱۳۸۷ (بر حسب متر)

| آمار         | مهر    | آبان   | آذر    | دی     | بهمن   | اسفند  | فروردین | اردیبهشت | خرداد  | تیر    | شهریور | مرداد |
|--------------|--------|--------|--------|--------|--------|--------|---------|----------|--------|--------|--------|-------|
| مقدار کمینه  | ۱۲۷۰/۴ | ۱۲۷۱/۶ | ۱۲۷۲/۲ | ۱۲۷۲/۲ | ۱۲۷۴/۷ | ۱۲۷۴/۸ | ۱۲۷۴/۳  | ۱۲۷۴/۰   | ۱۲۷۱/۱ | ۱۲۶۸/۸ | ۱۲۶۸/۵ |       |
| مقدار بیشینه | ۱۹۴۰/۵ | ۱۹۴۰/۴ | ۱۹۴۰/۳ | ۱۹۴۰/۲ | ۱۹۴۰/۱ | ۱۹۴۰/۰ | ۱۹۴۰/۷  | ۱۹۴۱/۸   | ۱۹۴۲/۰ | ۱۹۴۱/۱ | ۱۹۴۰/۹ |       |
| میانه        | ۱۳۲۶/۸ | ۱۳۲۶/۹ | ۱۳۲۷/۲ | ۱۳۲۷/۳ | ۱۳۲۷/۵ | ۱۳۲۷/۶ | ۱۳۲۷/۲  | ۱۳۲۷/۰   | ۱۳۲۷/۷ | ۱۳۲۷/۳ | ۱۳۲۷/۳ |       |
| متوسط        | ۱۴۲۰/۳ | ۱۴۲۰/۵ | ۱۴۲۰/۶ | ۱۴۲۰/۷ | ۱۴۲۰/۸ | ۱۴۲۰/۹ | ۱۴۲۱/۴  | ۱۴۲۱/۰   | ۱۴۲۰/۹ | ۱۴۲۰/۵ | ۱۴۲۰/۱ |       |
| انحراف معیار | ۲۰۶/۹۱ | ۲۰۶/۹۳ | ۲۰۶/۹۲ | ۲۰۶/۸۶ | ۲۰۶/۸۶ | ۲۰۶/۷۶ | ۲۰۶/۷۸  | ۲۰۶/۸۱   | ۲۰۶/۹۳ | ۲۰۶/۹  | ۲۰۶/۹۳ |       |

همان‌گونه که مشاهده می‌شود به تدریج، با حذف نقاط بیشتر، مقدار RMSE سطح حاصل و RMSE حذف شده افزایش می‌یابد. در صورتی که ۳۰ نقطه از مجموعه داده‌ها کنار گذاشته شود مقدار RMSE سطح افزایش می‌یابد.

در ادامه میزان تغییر RMSE سطح با حذف چاه‌ها به روش PCA محاسبه گردید. مرحله اول انتخاب همسایگی بود. تعداد چاه‌هایی که برای همسایگی هر چاه انتخاب و وارد فرآیند PCA خواهند شد وابسته به سری اطلاعات اندازه‌گیری شده هست، زیرا تحلیل PCA بر روی یک ماتریس  $p \times n$  اعمال می‌شود و در این ماتریس ستون‌ها ( $p$ ) بیانگر چاه‌ها و سطرها ( $n$ ) بیانگر مشاهدات در سال‌ها یا ماه‌های متفاوت هست (در این ماتریس  $p \leq n$  هست).

جهت اجرای PCA با استفاده از کد نوشته شده در نرم‌افزار MATLAB، ابتدا ۷۵ ماتریس  $12 \times 12$  بر اساس همسایگی اقلیدسی برای هر نقطه شکل گرفت. سپس آنالیز PCA بر روی تک‌تک ماتریس‌ها اعمال شد و سهم متغیرها در مؤلفه‌ها محاسبه گردید، نمونه‌ای از خروجی آن در جدول ۴ آرائه شده است. تعداد مؤلفه‌های اصلی در PCA برابر با تعداد چاه‌های استفاده شده در همسایگی هست. مؤلفه‌ی اول PCA بیشترین واریانس را دارد و به ترتیب واریانس در مؤلفه‌های بعدی کاهش می‌یابد. مقدار بیشینه سهم متغیرها در مؤلفه‌های اصلی در سه مؤلفه اول خود را نمایان می‌سازد (ندیری و همکاران ۱۳۸۹) از این رو سه ستون اول می‌توانند ملاک اصلی تعیین چاه‌های مؤثر در شبکه باشند.

در استفاده از هر روش درون‌یابی تلاش شد ابتدا حالت بهینه برای هر روش محاسبه و سپس با روش‌های دیگر مورد مقایسه قرار بگیرد. در نهایت روش کریجینگ عمومی با RMSE برابر با  $1/17$  متر به عنوان بهترین روش تخمین سطح تعیین شد. بدترین جواب مربوط به حالت اسپیلاین‌های صفحات نازک در روش تابع پایه شعاعی بود که در آن مقدار خطای بیش از دو برابر خطای کریجینگ عمومی محاسبه شد. روش اسپیلاین چندگانه نیز با  $6/5$  درصد اختلاف نسبت به کریجینگ عمومی دو میان روش بهینه بود. نتایج حاصل همانند پژوهش‌های پیشین، تقی‌زاده مهرجردی و همکاران (۱۳۸۷)، سلطانی و همکاران (۱۳۸۹)، سان و همکاران (۲۰۰۹) نشان از قابلیت روش‌های کریجینگ در تخمین سطح آب‌های زیرزمینی هست. در ادامه، میزان خطای نقطه‌ای حاصل از اعتبارسنجی متقابل در روش کریجینگ عمومی محاسبه گردید. جهت تعیین این خطای خود نقطه کنار گذاشته شده و با استفاده از همسایگی‌های آن مقداری برای نقطه حذف شده برآورد شد. اختلاف بین مقدار مشاهده شده و مقدار برآورده شده میزان خطای آن نقطه را نشان می‌داد.

بعد از این مرحله نقطه‌ای که کمترین خطای را در حین اعتبارسنجی متقابل داشته حذف شد. نقطه‌ی ۳ با خطای  $0.05/0$  اولین نقطه حذفی بود. بعد از حذف این نقطه سطح مجددًا بازسازی شد و مقدار RMSE سطح ایجاد شده محاسبه گردید، که بعد از حذف نقطه ۲، برابر با  $1/171$  متر گردید. با لحاظ این‌که خطای ایجاد شده در نقطه حذف شده ملاک دیگری بود دوم برای نقاط حذف شده نیز محاسبه شد. ترتیب حذف شدن و میزان تغییر RMSE سطح در جدول ۳ آرائه شده است.

جدول ۲- نتایج حاصل از اعمال روش‌های مختلف درون‌یابی.

| روش درون‌یابی         | نوع توابع    | تبديل/ ضریب کرنل | تعداد همسایه | نوع بخش | خطا (متر) |
|-----------------------|--------------|------------------|--------------|---------|-----------|
| وزن دهنده معکوس فاصله | توان = ۳/۰۳۸ | -                | ۵            | ۴ بخشی  | ۱/۵۸۸     |
| اسپیلاین کاملاً منظم  | ۰/۰۳۳        | ۰/۰۳۳            | ۸            | ۴-۴۵-   | ۱/۵۹۳     |
| اسپیلاین تنشی         | ۰/۰۰۵        | ۰/۰۰۵            | ۵            | ۴-۴۵-   | ۱/۴۵۸     |
| چندگانه               | ۶/۷          | ۶/۷              | ۱۲           | ۴-۴۵-   | ۱/۲۴۶     |
| تابع پایه شاععی       | ۷۲/۴۹۵       | ۷۲/۴۹۵           | ۵            | ۱       | ۱/۸۱۳     |
| چندگانه‌ی معکوس       | ۲×۱۰۸۱۵      | ۲×۱۰۸۱۵          | ۴            | ۴ بخشی  | ۲/۴۲۳     |
| کریجینگ ساده          | لوگ          | لوگ              | ۷            | ۴ بخشی  | ۱/۳۴۸     |
| کریجینگ عادی          | لوگ          | لوگ              | ۵            | ۴ بخشی  | ۱/۳۱۹     |
| کریجینگ عمومی         | باکس-کاکس    | باکس-کاکس        | ۸            | ۴-۴۵-   | ۱/۱۱۷     |

جدول ۳- مقدار تغییرات RMSE بر اساس تعداد نقاط حذف شده.

| تعداد چاه    | خطای تشکیل  | خطای سطح در  | خطای چاه    | تعداد چاه    | خطای سطح در | خطای سطح در حذف شده | تعداد چاه حذف شده | خطای تشکیل حذف شده | تعداد چاه حذف شده |
|--------------|-------------|--------------|-------------|--------------|-------------|---------------------|-------------------|--------------------|-------------------|
| خطای سطح (m) | اعتبار سنجی | خطای سطح (m) | اعتبار سنجی | خطای سطح (m) | اعتبار سنجی | خطای سطح (m)        | اعتبار سنجی       | خطای سطح (m)       | اعتبار سنجی       |
| ۱/۱۷۰        | ۰/۰۴۵       | ۱/۲۷۱        | ۱۶          | ۳            | ۰/۱۰۸       | ۲۵                  | ۱                 | ۰/۱۰۸              | ۲۵                |
| ۱/۱۷۱        | ۰/۰۵۰       | ۱/۲۷۴        | ۱۷          | ۲            | ۰/۱۰۸       | ۴۴                  | ۲                 | ۰/۱۰۸              | ۴۴                |
| ۱/۱۷۵        | ۰/۰۴۳       | ۱/۲۷۴        | ۱۸          | ۵۳           | ۰/۱۰۹       | ۱۷                  | ۳                 | ۰/۱۰۹              | ۱۷                |
| ۱/۱۷۷        | ۰/۰۴۲       | ۱/۲۷۶        | ۱۹          | ۶۳           | ۰/۱۱        | ۱۱                  | ۴                 | ۰/۱۱               | ۱۱                |
| ۱/۱۷۸        | ۰/۰۴۷       | ۱/۲۷۹        | ۲۰          | ۴۷           | ۰/۱۰۲       | ۴۹                  | ۵                 | ۰/۱۰۲              | ۴۹                |
| ۱/۱۸         | ۰/۰۵۱       | ۱/۲۸۳        | ۲۱          | ۱۲           | ۰/۱۵۵       | ۱۰                  | ۶                 | ۰/۱۵۵              | ۱۰                |
| ۱/۲۱۷        | ۰/۱۰۱       | ۱/۲۸۸        | ۲۲          | ۶۶           | ۰/۱۷۵       | ۵۱                  | ۷                 | ۰/۱۷۵              | ۵۱                |
| ۱/۲۲۷        | ۰/۱۳۳       | ۱/۲۸۹        | ۲۳          | ۵۰           | ۰/۱۵۶       | ۴۳                  | ۸                 | ۰/۱۵۶              | ۴۳                |
| ۱/۲۳۲        | ۰/۱۳۹       | ۱/۲۹۱        | ۲۴          | ۳۸           | ۰/۱۹۵       | ۳۷                  | ۹                 | ۰/۱۹۵              | ۳۷                |
| ۱/۲۱۶        | ۰/۰۶۳       | ۱/۲۹۸        | ۲۵          | ۶۲           | ۰/۱۷۵       | ۳۵                  | ۱۰                | ۰/۱۷۵              | ۳۵                |
| ۱/۲۱۹        | ۰/۰۶۶       | ۱/۳۰۰        | ۲۶          | ۵۶           | ۰/۱۸۵       | ۵۷                  | ۱۱                | ۰/۱۸۵              | ۵۷                |
| ۱/۲۳۰        | ۰/۱۰۵       | ۱/۳۰۳        | ۲۷          | ۲۶           | ۰/۱۸۲       | ۳۳                  | ۱۲                | ۰/۱۸۲              | ۳۳                |
| ۱/۲۶۷        | ۰/۱۰۲       | ۱/۳۱۲        | ۲۸          | ۶۱           | ۰/۲۰۲       | ۲۳                  | ۱۳                | ۰/۲۰۲              | ۲۳                |
| ۱/۲۶۵        | ۰/۱۰۵       | ۱/۳۱۶        | ۲۹          | ۴۵           | ۰/۲۰۵       | ۲۴                  | ۱۴                | ۰/۲۰۵              | ۲۴                |
| ۱/۲۶۸        | ۰/۱۰۷       | ۱/۳۶۲        | ۳۰          | ۶۵           | ۰/۲۳۵       | ۳۲                  | ۱۵                | ۰/۲۳۵              | ۳۲                |

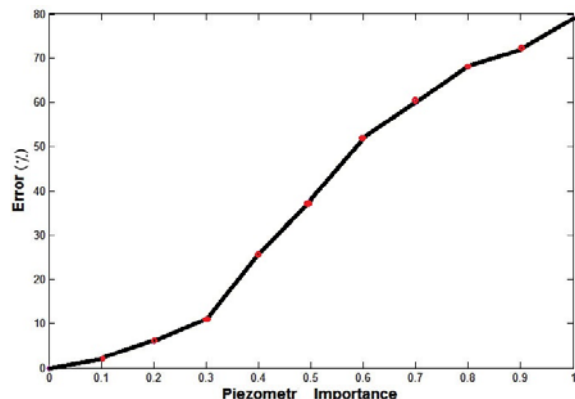
چاه‌های دیگر شمارش شده تقسیم می‌شود (رابطه ۲). عدد حاصل بین صفر تا یک است و اهمیت نسبی چاه‌های پیزومتری را نشان می‌دهد. جدول ۵ اهمیت نسبی هر چاه را نشان می‌دهد.

خروجی مرحله‌ی قبل ۷۵ ماتریس مانند جدول ۴ خواهد بود. حال باید اهمیت نسبی هر یک از چاه‌ها مشخص شود. برای محاسبه این کمیت، ابتدا تعداد دفعاتی که هر چاهی ضریب همبستگی بالای ۰/۹ با مؤلفه‌های PCA داشته باشد (نوری قیداری ۱۳۹۲) شمارش و بر تعداد دفعاتی که هر چاه در همسایگی

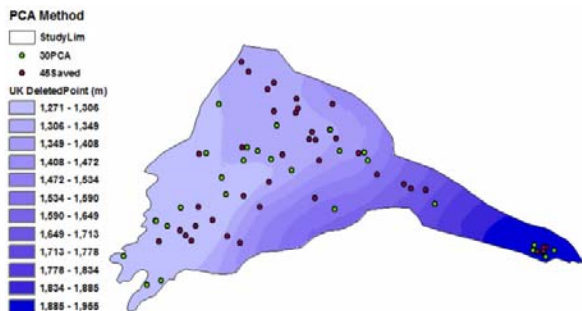
جدول ۴- ماتریس سهم متغیرها در مؤلفه‌های اصلی برای چاه شماره یک.

| مؤلفه‌ها / چاهه‌ای مؤثر | ۱     | ۲     | ۳     | ۴    | ۵  |
|-------------------------|-------|-------|-------|------|----|
| -۰/۱۲                   | -۰/۱۱ | -۰/۱۶ | ۰/۵۶  | ۰/۷۷ | ۲  |
| ۰/۰۹                    | ۰/۴۰  | ۰/۸۱  | ۰/۱۳  | ۰/۳۸ | ۵  |
| -۰/۲۰                   | -۰/۳۲ | -۰/۳۴ | -۰/۰۷ | ۰/۸۴ | ۴  |
| ۰/۰۰                    | -۰/۱۵ | -۰/۱۰ | ۰/۲۰  | ۰/۹۴ | ۱۵ |
| -۰/۰۱                   | ۰/۲۹  | -۰/۳۸ | -۰/۰۸ | ۰/۸۳ | ۲۰ |
| ۰/۳۲                    | ۰/۰۶  | -۰/۲۰ | ۰/۲۷  | ۰/۸۸ | ۱۸ |
| ۰/۱۹                    | -۰/۲۲ | ۰/۰۹  | -۰/۴۶ | ۰/۸۲ | ۱۲ |

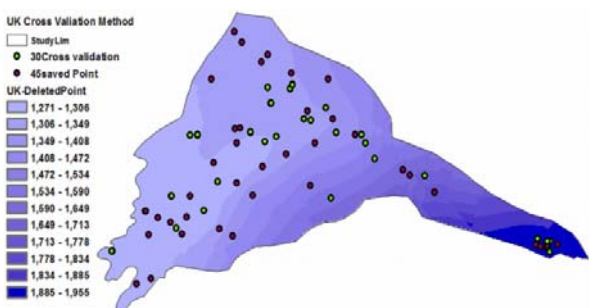
جدول ۵- اهمیت نسبی محاسبه شده برای هر نقطه بر اساس دفعات تکرار و دفعات مؤثر بودن هر چاه در PCA.



شکل ۲-نمودار خطای ایجاد شده در برآورد سطح آب‌های زیرزمینی با حذف چاههای پیزومتری براساس اهمیت نسبی.



شکل ۳-چاههای حذف شده و باقیمانده در روش PCA



شکل ۴-چاههای حذف شده و باقیمانده در روش خطای نقطه‌ای اعتبارسنجی متقابل.

نتیجه‌گیری کلی پرهزینه و زمان بر بودن حفر و نگهداری چاههای پیزومتری جهت تخمین سطح آب‌های زیرزمینی، ضرورت بهینه کردن تعداد چاههای پایش سطح آب زیرزمینی را می‌رساند. در این تحقیق جهت بهینه‌سازی

جهت محاسبه میزان تغییرات سطح آب زیرزمینی، به ترتیب چاههایی که دارای اهمیت نسبی کمتر از  $0/0/0/3$  و غیره بودند حذف شدند. نمودار خطای حاصل در سطح ایجاد شده به ازای حذف نقاط با رابطه ۵ در شکل ۲ ارائه شده است. حذف چاههای کم‌اهمیت تا جایی ادامه پیدا می‌کند که متوسط ضریب تغییرات سطح آبخوان زیاد نباشد. همان‌گونه که از شکل ۲ مشخص است به ازای حذف چاههایی که دارای اهمیت نسبی کمتر از  $0/0/3$  هستند متوسط ضریب تغییرات ۱۱ درصد تغییر می‌کند. در تحقیقی مشابه که توسط نوری قیداری (۱۳۹۱) انجام پذیرفت چاههایی که اهمیت نسبی کمتر از  $0/5/0$  داشتند حذف شدند و میزان ضریب تغییرات ۱۳ درصد تغییر کرد.

بعد از حذف ۳۰ چاه از مجموعه چاههای پیزومتری دشت تبریز، سطح آب‌های زیرزمینی پنهان‌بندی گردید. در روش PCA مقدار RMSE سطح نهایی به دست آمده بعد از حذف چاه با اهمیت نسبی  $0/3$  برابر با  $1/343$  متر شد که در آن دقت سطح  $14\%$  کاهش یافت.

مقدار RMSE به دست آمده به روش خطای اعتبارسنجی برابر با  $1/623$  متر بوده که نشان از افزایش  $16/5\%$  خطای سطح هست. از ۳۰ چاه حذف شده، ۱۸ چاه در هر دو روش به صورت مشترک حذف گردیدند. تغییرات RMSE سطح حاصل از PCA در قیاس با روش خطای نقطه‌ای اندک هست و از اعتبار بیشتری برخوردار است. مقایسه سه‌بعدی سطوح ایجاد شده نیز حاکی از اندک بودن اختلاف سطوح به وجود آمده دارد. چاههای پیزومتری حذف شده در شکل‌های ۳ و ۴ مشاهده می‌شوند.

از جمله مزیت‌های اصلی استفاده از خطای نقطه‌ای حاصل از اعتبارسنجی با لحاظ اختلاف ناچیز جواب آن با روش PCA، سادگی اجرای آن هست. از طرفی در بهینه‌سازی شبکه چاههای پیزومتری در PCA الزاماً از سری اطلاعات ۱۲ ماه یا چندین سال استفاده می‌شود در حالی که روش خطای نقطه‌ای در شرایطی که سری زمانی از داده‌ها وجود نداشته باشد قابل استفاده بوده و سریع‌تر به نتیجه می‌رسد.

روش خطای اعتبارسنجی نیز نشان داد که اگر تعدادی از داده‌ها مفقود باشد و یا امکان دسترسی فراهم نباشد می‌تواند برای پیش‌بینی تغییرات سطح به کاربرده شود. تعداد چاههای حذف شده می‌تواند تابع عواملی چون وسعت منطقه، تراکم نقاط و نحوه شکل‌گیری شبکه پایش اولیه باشد (بیوریدج و همکاران ۲۰۱۲). نتایج حاصل بیانگر این است که با حذف ۳۰ نقطه از شبکه پایش سطح آب زیرزمینی دشت تبریز مقدار خطای حاصله قابل‌پذیرش بوده و می‌توان با افزایش دقت اندازه‌گیری سطح آب در بقیه چاههای پیزومتری و صرفه‌جویی در زمان و هزینه به همان دقت سطح اولیه رسید.

تعداد چاههای پیزومتری آبخوان آزاد دشت تبریز، بعد از اخذ اطلاعات ۷۵ چاه پیزومتری روش‌های رایج درون-یابی جهت پنهان‌بندی آب‌های زیرزمینی اعمال شدند، روش کریجینگ عمومی با RMSE برابر ۱/۱۷ متر سطح بهینه را تخمین زد. در ادامه ۳۰ چاه پیزومتری کم‌اهمیت با روش‌های خطای نقطه‌ای حاصل از اعتبارسنجی مقابله و روش PCA حذف گردید. RMSE سطح نهایی برای روش PCA ۱۴٪ و برای خطای اعتبارسنجی مقابله ۱۶/۵ درصد تغییر کرد. تغییرات RMSE حاصل از PCA در قیاس با روش خطای نقطه‌ای اندک بوده و از اعتبار بیشتری برخوردار هست؛ لذا در این بررسی ملاک نتیجه‌گیری قرار گرفت. نتایج حاصل از

#### منابع مورد استفاده

تقی زاده مهرجردی را، زارعیان جهرمی م، محمودی ش، حیدری ا و سرمدیان ف، ۱۳۸۷. بررسی روش‌های درون‌یابی مکانی جهت تعیین تغییرات مکانی ویژگی‌های زیرزمینی دشت رفسنجان. علوم و مهندسی آبخیزداری ایران، جلد ۲، شماره ۵، صفحه‌های: ۷۰ تا ۶۳.

رزاقد منش م، سالمی ت و سراج م، ۱۳۸۵. بررسی کمی و کیفی آب‌های زیرزمینی دشت تبریز. همايش ملی مدیریت شبکه‌های آبیاری و زهکشی. ۱۴-۱۲ شهریورماه، دانشگاه شهید چمران اهواز، اهواز.

سکوتی اسکویی ر، جباری ع، کلاه چی ع و بروشكه، ۱۳۹۰. کاربرد زمین‌آمار برای بررسی تغییرات سطح آب زیرزمینی دشت ارومیه. همايش ملی تغییر اقلیم و تأثیر آن بر کشاورزی و محیط‌زیست، مرکز تحقیقات کشاورزی و منابع طبیعی استان آذربایجان غربی، ارومیه.

سلطانی م، شادرفه ص و بکتاش پ، ۱۳۸۹. مقایسه روش‌های مختلف درون‌یابی در انتخاب مکان‌های مستعد اجرای عملیات پخش سیلاب با استفاده از سامانه‌های اطلاعات جغرافیایی (GIS). همايش سیستم‌های اطلاعات مکانی. ۸ آذرماه، سازمان نقشه‌برداری کشور، تهران.

شیخ‌الاسلامی ع، باقری خ و محمود‌آبادی ع، ۱۳۹۱. کاهش متغیرهای ورودی در فرآیند مدل‌سازی تصادفات آزادراه‌ها با استفاده از روش تجزیه و تحلیل مؤلفه‌های اصلی. مهندسی حمل و نقل، جلد ۲، شماره ۴، صفحه‌های ۲۲۵ تا ۳۳۸. فرجی سبکبار ح و عزیزی ق، ۱۳۸۵. ارزیابی میزان دقت روش‌های درون‌یابی فضایی مطالعه موردی: الگوسازی بارندگی حوزه کارده مشهد. پژوهش‌های جغرافیایی، شماره ۵۸، صفحه‌های ۱ تا ۱۵.

قدم پور ز و شقاقيان م، ۱۳۹۰. مقایسه مدل‌های کلاسیک سری زمانی و هوش مصنوعی در تعیین سطح تراز آب زیرزمینی. صفحه‌های ۱-۸. ششمین کنگره ملی مهندسی عمران. ۶ و ۷ اردیبهشت‌ماه، دانشگاه سمنان، سمنان. قهرمان ب، حسینی س م و عسگری ح، ۱۳۸۲. کاربرد زمین‌آمار در ارزیابی شبکه‌های پایش کیفی آب زیرزمینی. نشریه امیرکبیر (مهندسی عمران)، جلد ۱۴، شماره ۵۵، صفحه‌های ۹۷۱ تا ۹۸۱.

قهرودی تالی م و بابایی فینی ا، ۱۳۸۹. درآمدی بر سیستم‌های اطلاعات جغرافیایی (رشته جغرافیا). انتشارات دانشگاه پیام نور، تهران.

کریمی گوغری ش و خلیفه س، ۱۳۹۲. ارزیابی کارایی شبکه‌های آب‌سنجدی با استفاده از تئوری آنتروپی گستته (مطالعه موردی: حوزه بختگان-مهارلو)، پژوهشنامه مدیریت حوزه آبخیز، جلد ۲، شماره ۳، صفحه‌های ۳۴ تا ۶۶.

قورچی رودکی م، کریم پور م ح و ابراهیمی نصر آبادی خ، ۱۳۹۲. کاربرد آنالیز مؤلفه‌های اصلی در جهت شناسایی آنمالی‌های ژئوشیمیایی و نواحی دگرسان در ناحیه هلاک آباد، سبزوار. بلورشناسی و کانی‌شناسی ایران، جلد ۲۰، شماره ۱، صفحه‌های ۵۳ تا ۶۶.

لشکری پور غ، رستمی بارانی ح و ترشیزی ح، ۱۳۸۵. افت سطح آب زیرزمینی و نشست زمین در دشت کاشمر. صفحه‌های ۲۴۲۸ تا ۲۴۲۸. دهیمن همایش انجمن زمین‌شناسی ایران. ۱۳ شهریورماه، دانشگاه تربیت مدرس، تهران.

نوری را، کراچیان ر، خدادادی دربان او شکیابی نیا، ۱۳۸۶. ارزیابی اهمیت ایستگاه‌های پایش کیفی رودخانه‌ها با استفاده از آنالیز مؤلفه‌های اصلی و آنالیز فاکتور (مطالعه موردی: رودخانه کارون). آب و فاضلاب، جلد ۱۸، شماره ۶۳، صفحه‌های ۶۰ تا ۶۹.

نوری قیداری م ح، ۱۳۸۹. شناسایی داده‌های پرت در آنالیز منطقه‌ای سیلاب به روش آنالیز مؤلفه‌های اصلی. پنجمین کنگره ملی مهندسی عمران. ۱۶-۱۴ اردیبهشت‌ماه، دانشگاه فردوسی مشهد، مشهد.

نوری قیداری م ح، ۱۳۹۲. تعیین چاه‌های مؤثر در تعیین تراز سطح آب زیرزمینی با آنالیز مؤلفه‌های اصلی. مجله علوم و فنون کشاورزی و منابع طبیعی، علوم آب و خاک، جلد ۱۷، شماره ۶۴، صفحه‌های ۱۴۹ تا ۱۵۸.

همت پور س و هاشمی ح، ۱۳۹۰. استفاده از تکنیک‌های کاهشی بعد تحلیل مؤلفه‌های اصلی (PCA) و تحلیل جداکننده‌های پارامتری شده (RDA) در رتبه‌بندی نشانگرهای لرزه‌ای. مجله فیزیک زمین و فضا، جلد ۳۷، شماره ۴، صفحه‌های ۲۱۷ تا ۲۲۷.

ندیری ع. ۱۳۸۳. ارزیابی سطح آب‌های زیرزمینی در محدوده متروی شهر تبریز با استفاده از مدل شبکه‌های عصبی مصنوعی. رساله کارشناسی ارشد، دانشکده علوم طبیعی، دانشگاه تبریز.

Alfonso L, Lobbrecht A and Price R, 2010. Optimization of water level monitoring network in polder systems using information theory. Water Resources Research 46 (12): 1-13.

Beveridge D, St-Hilaire A, Ouarda TB, Khalil B, Conly FM, Wassenaar LI and Ritson-Bennett E, 2012. A geostatistical approach to optimize water quality monitoring networks in large lakes: Application to Lake Winnipeg. Journal of Great Lakes Research 38: 174-182.

Cetinkaya CP and Harmancioglu NB, 2014. Reduction of streamflow monitoring networks by a reference point approach. Journal of Hydrology 512: 263-173.

Gundogdu KS and Guney I, 2007. Spatial analyses of groundwater levels using universal kriging. Journal of Earth System Science 116: 49-55.

Karamouz M, Hafez B and Kerachian R, 2005. Water Quality Monitoring Network for River Systems: Application of Ordinary Kriging. Pp. 1-12. Proceeding of Impacts of Global Climate Change, 15-19 May, Alaska, United States.

Karamouz M, Khajehzadeh Nokhandan A, Kerachian R and Maksimovic C, 2009. Design of online river water quality monitoring systems using the entropy theory: a case study. Environmental Monitoring and Assessment 155: 63-81.

Keedwell E and Khu ST, 2005 .A hybrid genetic algorithm for the design of water distribution networks. Engineering Applications of Artificial Intelligence 18: 461-472.

Kurtulus B and Flipo N, 2012. Hydraulic head interpolation using Anfis—Model selection and sensitivity analysis. Computers & Geosciences 38: 43-51.

Nadiri AA, Asghari Mogadam A, Tsai F and Fijani E, 2013a. Hydrogeochemical analysis for Tasuj plain aquifer, Iran. Journal of Earth System Science 4: 1091-1105.

Nadiri AA, Chitsazan N, Tsai F and Moghaddam A, 2013b. Bayesian artificial intelligence model averaging for hydraulic conductivity estimation. Journal of Hydrologic Engineering 19(3), 520-532

Nadiri AA, Fijani E and Asghari Moghaddam A, Tsai F, 2013c. Supervised committee machine with artificial intelligence for prediction of fluoride concentration. Journal of Hydroinformatics 15(4): 14-74.

Park S-Y, Choi JH, Wang S and Park SS, 2006. Design of a water quality monitoring network in a large river system using the genetic algorithm. Ecological Modelling 199: 289-297.

Salah H, 2009. Geostatistical analysis of groundwater levels in the south Al Jabal Al Akhdar area using GIS. GIS Ostrava 25: 1-10.

Sivapragasam C, Arun V and Giridhar D, 2010. A simple approach for improving spatial interpolation of rainfall using ANN. Meteorology and Atmospheric Physics 109: 1-7.

- Sun Y, Kang S, Li F and Zhang L, 2009. Comparison of interpolation methods for depth to groundwater and its temporal and spatial variations in the Minqin oasis of northwest China. *Environmental Modelling & Software* 24:1163-1170.
- Yakirevich A, Pachepsky YA, Gish TJ, Guber AK, Kuznetsov MY, Cady RE, Nicholson TJ, 2013. Augmentation of groundwater monitoring networks using information theory and ensemble modeling with pedotransfer functions. *Journal of Hydrology* 501: 13-24.
- Zhou Y, Dong D, Liu J and Li W, 2013. Upgrading a regional groundwater level monitoring network for Beijing Plain, China. *Geoscience Frontiers* 4:127-138.